——— ФИЗИКО-ХИМИЧЕСКИЙ АНАЛИЗ НЕОРГАНИЧЕСКИХ СИСТЕМ **———**

УЛК 542.8

ТВЕРДЫЙ РАСТВОР В ПСЕВДОБИНАРНОЙ СИСТЕМЕ ${\rm Ba_2YMoO_6-[Ba_2YCuO_5]}$

© 2024 г. М. Н. Смирнова^{*a*, *}, М. А. Копьева^{*a*}, Г. Д. Нипан^{*a*}, Г. Е. Никифорова^{*a*}, Е. В. Текшина^{*a*}, А. А. Архипенко^{*a*}

^aИнститут общей и неорганической химии им. Н.С. Курнакова РАН, Ленинский пр-т, 31, Москва, 119991 Россия *e-mail: smirnova macha1989@mail.ru

> Поступила в редакцию 25.04.2024 г. После доработки 10.06.2024 г. Принята к публикации 12.06.2024 г.

Методом сжигания геля синтезированы образцы псевдобинарной системы $Ba_2YMoO_6-[Ba_2YCuO_5]$. Полученные поликристаллические образцы исследованы методами рентгеновской дифракции и фотолюминесцентной спектроскопии. При замещении Мо на Си удалось стабилизировать на воздухе кубические фазы $Fm\overline{3}m$ и $F\overline{4}3m$ твердого раствора $Ba_2YMo_{1-x}Cu_yO_{6-\delta}$ ($0 \le x \le 0.5$).

Ключевые слова: многокомпонентные оксидные системы, фазовые состояния

DOI: 10.31857/S0044457X24100101, EDN: JICTGD

ВВЕДЕНИЕ

Молибдаты щелочноземельных и редкоземельных элементов используются в качестве матриц для примесной люминесценции благодаря сохранению однофазности и химической стабильности в условиях одностадийного твердофазного синтеза. Так, при допировании европием возникает область интенсивного поглощения 250-450 нм, и в результате перехода заряда от группы Mo^{6+}/O^{2-} к Eu^{3+} активируется оранжевокрасное излучение, которое используется в теплых белых светодиодах LED [1]. Эмиссионный спектр Eu³⁺ зависит от кристаллических решеток молибдатов [1], среди которых значительный интерес представляют перовскитные структуры $A(B'_{0.67}B''_{0.33})O_3$ и $A(B'_{0.5}B''_{0.5})O_3$ [2]. В системе $BaO-Y_2O_3-MoO_3$ образуются кристаллические фазы на основе $BaY_{0.67}Mo_{0.33}O_3$ ($Ba_3Y_2MoO_9$) и ${\rm BaY_{0.5}Mo_{0.5}O_3}({\rm Ba_2YMo\overset{\circ}{O_6}})$ со структурой кубического перовскита *Fm3m*. Обе фазы участвуют в создании примесной люминесценции [3, 4]. Однако если Ва, У, МоО, кристаллизуется на воздухе при $1200-1\overline{3}00^{\circ}\text{C}$ [5], то для получения Ва, ҮМоО, при тех же температурах необходима восстановительная атмосфера (95% Ar + 5% H_2) [6]. Хотя это не избавляет от образования примесного молибдата ВаМоО, [4], что не препятствует применению материала в качестве сегнетоэлектрической [7] или магнитоупорядоченной керамики [8], но нарушает воспроизводимость оптических характеристик Ва, ҮМоО,. Одним из

вариантов решения проблемы является частичное замещение Мо на Си, в результате которого предотвращается образование BaMoO₄[9].

В настоящей работе, основываясь на опыте работы с родственной системой $BaO-Y_2O_3-CuO-WO_3$ [10, 11] и сообщении об образовании перовскитов $Ba_2(Y,Cu,Mo)_2O_6$ [9], в рамках псевдобинарной системы $Ba_2YMoO_6-[Ba_2YCuO_5]$ методом рентгеновской дифракции определена протяженность твердого раствора $Ba_2YMo_{1-x}Cu_xO_{6-\delta}$ с кубической структурой. Состав $[Ba_2YCuO_5]$ не является фазой, а принадлежит трехфазной области $BaO-BaCuO_2-Y_4Ba_3O_9$ [12, 13].

ЭКСПЕРИМЕНТАЛЬНАЯ ЧАСТЬ

Образцы системы $Ba_2YMoO_6-[Ba_2YCuO_5]$ синтезировали методом сжигания геля [14, 15], в качестве исходных реагентов применяли оксид бария BaO (ч., $\omega(BaO) = 97.2\%$), карбонат иттрия трехводный $Y_2(CO_3)_3 \cdot 3H_2O$ (х. ч., $\omega(Y_2(CO_3)_3 \cdot 3H_2O) = 99.9\%$), оксид меди CuO (ос. ч., $\omega(CuO) = 99.997\%$), оксид молибдена MoO_3 (ч. д. а., $\omega(MoO_3) = 99.0\%$) и восстановитель (органическое топливо) — поливиниловый спирт (16/1, CAS: 9002-89-5). Оксиды металлов и карбонат иттрия, взятые в соответствующих стехиометрических количествах, растворяли в разбавленной азотной кислоте ($HNO_3: H_2O = 1: 1$ (об.)), раствор упаривали, переносили в керамическую

чашку и добавляли порошкообразный поливиниловый спирт. При дальнейшем упаривании раствора наблюдали образование геля. После кратковременного возгорания гель превращался в серо-черный порошок, который перетирали, переносили в керамический тигель, отжигали при 1000°C в течение 3 ч и охлаждали в инерционно-термическом режиме, не вынимая из печи. Температура и время отжига были выбраны на основе предварительных экспериментов, исходя из возможности потери МоО, при более высоких температурах и более продолжительном времени отжига. Средний размер поликристаллов находился на уровне 50-100 нм, что на порядок меньше частиц Ва, ҮМоО, образующихся при твердофазном синтезе [4]. Исследованные составы отмечены в концентрационном треугольнике системы $Ba_2Y_2O_5$ — $BaMoO_4$ — $BaCuO_5$ на рис. 1.

Содержание Ва, Y, Cu и Мо в синтезированных образцах контролировали методом рентгенофлуоресцентной спектрометрии на спектрометре Спектроскан МАКС-GVM (Россия).

Рентгенофазовый анализ выполняли на дифрактометре Bruker Advance D8 (излучение CuK_a) в интервале углов $2\theta = 10^{\circ} - 70^{\circ}$ с шагом

сканирования 0.0133°. Количественный фазовый анализ проводили методом полнопрофильного анализа с использованием программного обеспечения TOPAS 4.2.

Экситонные и эмиссионные спектры образца $Ba_2YMo_{0.5}Cu_{0.5}O_6$ регистрировали с помощью спектрометра Perkin Elmer LS55 при возбуждении $\lambda_{\rm exc}=237$ нм и эмиссии $\lambda_{\rm em}=436$ нм в диапазоне 200-800 нм с разрешением 0.5 нм.

РЕЗУЛЬТАТЫ И ОБСУЖДЕНИЕ

На рис. 2 приведены дифрактограммы образцов $\mathrm{Ba_2YMo_{1-x}Cu_xO_{6-\delta}}$ при x=0,0.1,0.2,0.25,0.33 и 0.5.

Образец номинального состава Ba_2YMoO_6 представляет собой смесь кубических фаз Ba_2YMoO_6 ($Fm\overline{3}m$) и $Ba_3Y_2MoO_9$ ($Fm\overline{3}m$), а также $BaMoO_4$ ($I4_1/a$), Y_2O_3 ($Ia\overline{3}$) (рис. 2, линия I). При замещении 10% Мо на Cu ($Ba_2YMo_{0.9}Cu_{0.1}O_{6-\delta}$) образуется твердый раствор $Ba_2YMo_{1-x}Cu_xO_{6-\delta}$ ($Fm\overline{3}m$), а содержание $BaMoO_4$ и Y_2O_3 снижается (рис. 2, линия I). При увеличении содержания Cu до $Ia_2YMo_{0.8}Cu_{0.2}O_{6-\delta}$ помимо твердого раствора со структурой Ia_3Tmax 0 образуется кубическая фаза, изоструктурная

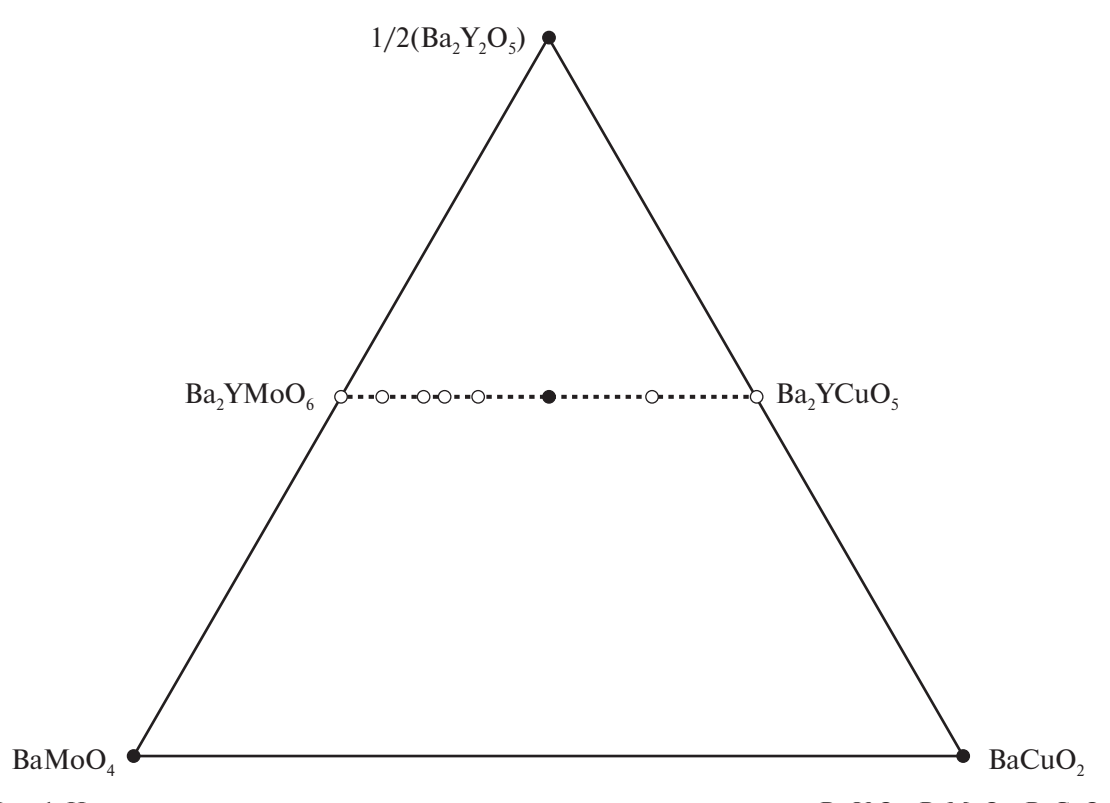


Рис. 1. Исследованные составы в концентрационном треугольнике системы Ba, Y,O₅-BaMoO₄-BaCuO₇

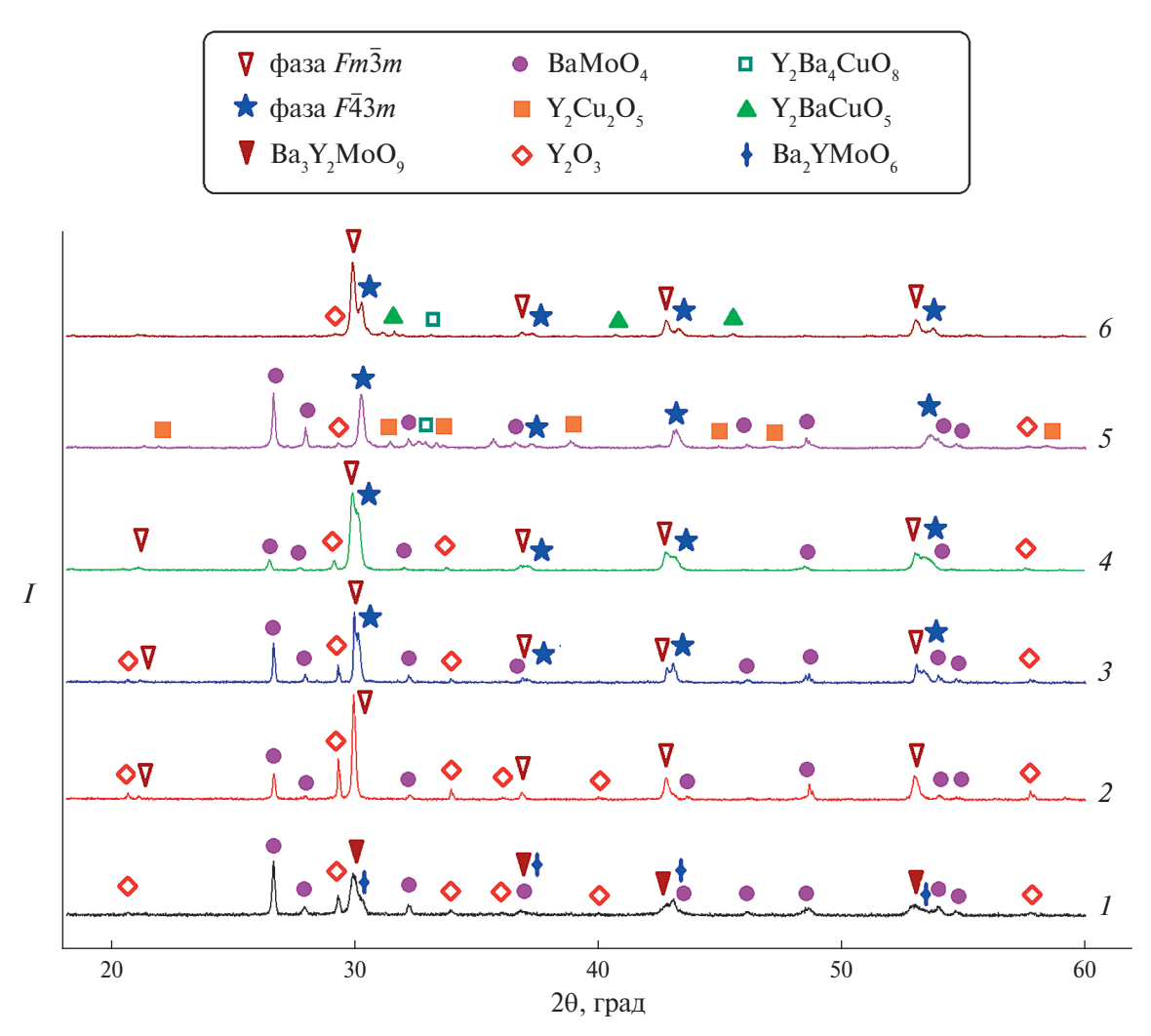


Рис. 2. Дифрактограммы образцов системы $\mathrm{Ba_2YMo_{1-x}Cu_xO_{6-\delta}}(0\leqslant x\leqslant 0.5)$ при x=0 (*I*), 0.1 (*2*), 0.2 (3), 0.25 (*4*), 0.33 (*5*), 0.5 (*6*).

 ${\rm Ba_2YCu_2WO_9}~({\it F}\overline{4}\,3\it m)~[16],~$ при этом примеси ${\rm BaMoO_4}~$ и ${\rm Y_2O_3}~$ сохраняются на уровне 6% (рис. 2, линия 3). В случае $Ba_2YMo_{0.75}Cu_{0.25}O_{6-8}$ фазовый состав принципиально не меняется (рис. 2, линия 4). Замещение трети Мо на Си $(Ba_{2}YMo_{0.67}Cu_{0.33}O_{6-\delta})$ приводит <u>к</u> кристаллизации одной кубической фазы F43m совместно $c BaMoO_4, Y_2O_3, Y_2Ba_4CuO_8$ (Ammm) и $Y_2Cu_2O_5$ (*Pna*2₁) (рис. 2, линия 5). При эквимолярном содержании Мо и Си $(Ba_2YCu_{0.5}Mo_{0.5}O_{6-\delta})$ в образце преобладают кубические фазы Fm3m и F43m, а также присутствуют примеси Y_2O_3 , Y_2BaCuO_5 и $Y_2Ba_4CuO_8$, но молибдат бария не наблюдается (рис. 2, линия 6). При дальнейшем замещении Мо на Cu (x = 0.75 и 1) кубические фазы не образуются, а присутствуют У ВаСиО , (Pbnm), Ba $_{3}$ Y $_{4}$ O $_{9}$ $(R\overline{3}m)$, BaCuO $_{2}$ $(Im\overline{3}m)$ и следы Ba₃YCu₂O_{6+x} $(Pm\overline{3}m)$.

Почти для всех составов перовскит $Fm\overline{3}m$ находится в равновесии с фазой $F\overline{4}3m$, изоструктурной $Ba_2YCu_2WO_9$. С увеличением содержания меди в образцах $Ba_2YMo_{1-x}Cu_xO_{6-\delta}$ снижается содержание $BaMoO_4$ и увеличивается содержание обеих кубических фаз, при этом монотонно уменьшаются параметры их элементарных ячеек (рис. 3). Поскольку твердые растворы $Fm\overline{3}m$ и $F\overline{4}3m$ занимают концентрационные объемы в тетраэдре составов системы $BaO-Y_2O_3-CuO-MoO_3$, а молибдат бария не принадлежит ноде $Ba_2YMoO_6-[Ba_2YCuO_5]$, при введении Cu изменение процентного содержания $BaMoO_4$ и его кристаллографических параметров происходит немонотонно.

Для состава $\mathrm{Ba_2YMoO_6}$ (x=0) кристаллографические параметры оказались заниженными. Согласно литературным данным [2, 8, 17, 18],

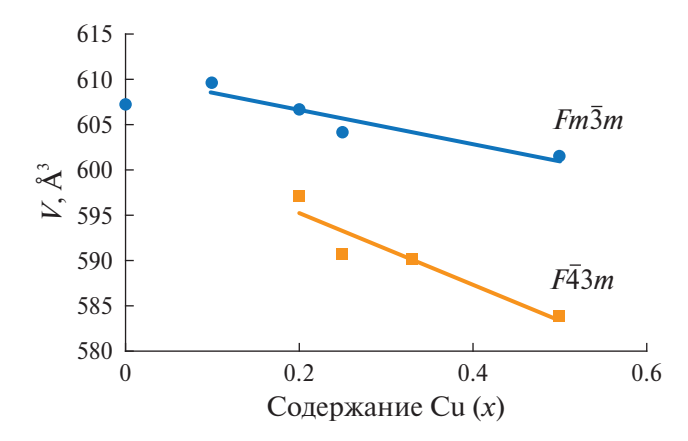


Рис. 3. Зависимость объема элементарной ячейки фаз $Fm\overline{3}m$ и $F\overline{4}$ 3m от содержания меди (x) в образцах $\mathrm{Ba_2YMo_{1-x}Cu_xO_{6-\delta}}$ ($0 \le x \le 0.5$)

Таблица 1. Результаты химического анализа образца Ba_2YMo_0 ${}_5Cu_0$ ${}_5O_6$

Элемент	Концентрация металлов (массовая доля, %)	
	теоретическая	экспериментальная
Ba	61.9	61.4
Y	20.1	20.4
Cu	7.2	7.3
Mo	10.8	10.9

Результаты исследования концентрации катионов в образце номинального состава $Ba_2 Y Mo_{0.5} Cu_{0.5} O_{6-\delta}$ свидетельствуют о соответствии соотношения Ba, Y, Cu и Mo в конечном продукте исходному заданному составу (табл. 1).

Экситонные и эмиссионные спектры образца $Ba_2YCu_{0.5}Mo_{0.5}O_{6-\delta}$ приведены на рис. 4. Полоса поглощения при 237 нм ($\lambda_{\rm em}=436$ нм) на экситонном спектре (рис. 4, кривая *I*) подтверждает перенос заряда $O^{2-} \rightarrow Cu^{2+}$. Полосы люминесценции ($\lambda_{\rm exc}=237$ нм) в интервале 350-550 нм (рис. 4, кривая *2*) определяются переходами ${}^{1}T_{1}, {}^{1}T_{2}, {}^{3}T_{1}, {}^{3}T_{2} \rightarrow {}^{1}A_{1}$ для аниона [$MoO_{4}l^{2-}$ [19–22] и диффузией кислорода в структурных плоскостях CuO_{2} основных фаз ($Fm\bar{3}m$ и $F\bar{4}3m$) и примесной фазы $YBa_{2}Cu_{3}O_{7-x}$ (Pmmm): $\lambda=435$, 530 нм [23], $\lambda=460$ и 486 нм [24]. Положение люминесцентных полос даже в случае двойного

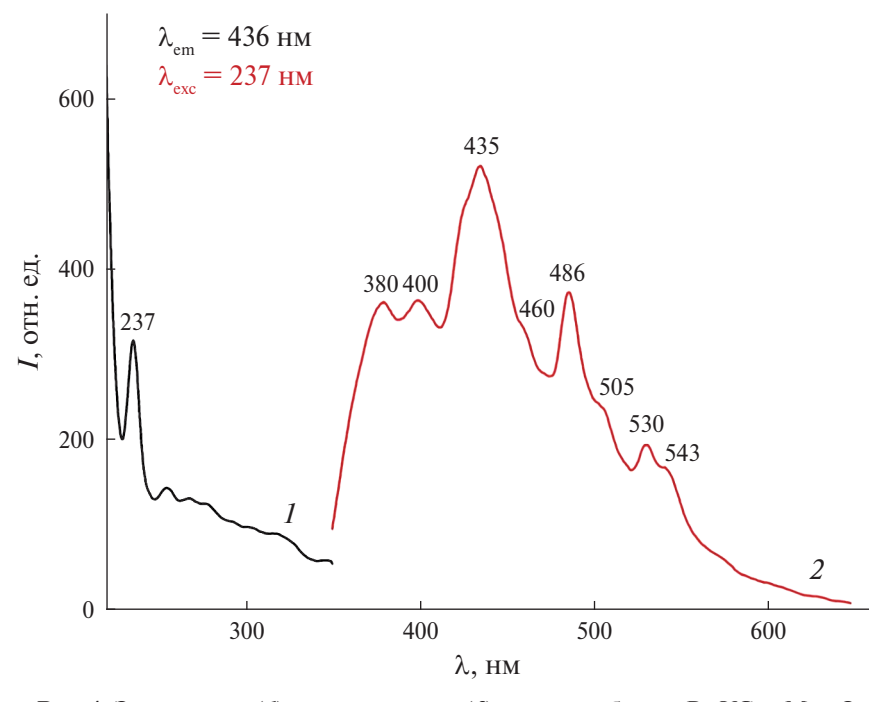


Рис. 4. Экситонные (1) и эмиссионные (2) спектры образца $Ba_{5}YCu_{0.5}Mo_{0.5}O_{6-\delta}$

оксида $BaMoO_4$ зависит от размеров и условий получения поликристаллов [25–27].

ЗАКЛЮЧЕНИЕ

Методом сжигания геля впервые синтезированы образцы псевдобинарной системы $Ba_2 YMoO_6 - [Ba_2 YCuO_5]$. При частичном замещении Мо на Си удалось стабилизировать на воздухе твердый раствор на основе перовскита $Ba_2 YMoO_6$ ($Fm\overline{3}m$) в присутствии кубической фазы, изоструктурной $Ba_2 YCu_2 WO_9$ ($F\overline{4}3m$). Для образца $Ba_2 YCu_{0.5} Mo_{0.5} O_{6-\delta}$ проанализированы полосы люминесценции в области 350—550 нм.

БЛАГОДАРНОСТЬ

Исследование проводили с использованием оборудования ЦКП ФМИ ИОНХ РАН.

ФИНАНСИРОВАНИЕ

Работа выполнена при финансовой поддержке Минобрнауки России в рамках государственного залания ИОНХ РАН.

КОНФЛИКТ ИНТЕРЕСОВ

Авторы заявляют, что у них нет конфликта интересов.

СПИСОК ЛИТЕРАТУРЫ

- Baur F., Jüstel T. // Opt. Mater. X. 2019. V. 1. P. 100015. https://doi.org/10.1016/j.omx.2019.100015
- 2. Fuentes A.F., Hernández-Ibarra O., Mendoza-Suarez G. et al. // J. Solid State Chem. 2003. V. 173. № 2. P. 319. https://doi.org/10.1016/S0022-4596(03)00105-1
- Krishnan R., Swart H.C. // J. Phys. Chem. Solids. 2020. V. 144. P. 109519. https://doi.org/10.1016/j.jpcs.2020.109519
- Krishnan R., Kroon R.E., Swart H.C. // Mater. Res. Bull. 2022. V. 145. P. 111554. https://doi.org/10.1016/j.materresbull.2021.111554
- Ter Vrust J.W., Wanmaker W.L., Verriet J.G. // J. Inorg. Nucl. Chem. 1972. V. 34. № 2. P. 762. https://doi.org/10.1016/0022-1902(72)80459-7
- 6. *Qu Z., Zou Y., Zhang S. et al.* // J. Appl. Phys. 2013. V. 113. № 17. P. 17E137. http://doi.org/doi:10.1063/1.4798342
- Li Q., Ren J., Cui J. et al. // Physica B. 2014. V. 451.
 P. 110. https://doi.org/10.1016/j.physb.2014.06.024

- 8. *Cussen E.J., Lynham D.R., Rogers J.* // Chem. Mater. 2006. V. 18. № 12. P. 2855. https://doi.org/10.1021/cm0602388
- 9. Смирнова М.Н., Копьева М.А., Нипан Г.Д. и др. // Докл. PAH. 2024. T. 515. C. 30. https://doi.org/10.31857/S2686953524020032
- 10. *Кольцова Т.Н.* // Инженерная физика. 2003. № 1. С. 9.
- 11. *Кольцова Т.Н.* // Неорган. материалы. 2004. Т. 40. № 6. С. 751. https://elibrary.ru/item.asp?id=17659323
- 12. *Gavrichev K.S.*, *Khoroshilov A.V.*, *Nipan G.D. et al.* // J. Therm. Anal. 1997. V. 48. № 5. P. 1039. https://doi.org/10.1007/bf01979152
- 13. Brosha E.L., Garzon F.H., Raistrick I.D. et al. // J.Am. Ceram. Soc. 1995. V. 78. № 7. P. 1745. https://doi.org/10.1111/j.1151-2916.1995.tb08884.x
- 14. *Смирнова М.Н., Кондратьева О.Н., Никифорова Г.Е. и др. //* Журн. неорган. химии. 2023. Т. 68. № 5. С. 581. https://doi.org/10.31857/S0044457X22602383
- 15. *Смирнова М.Н., Нипан Г.Д., Копьева М.А. и др. //* Журн. неорган. химии. 2023. Т. 68. № 7. С. 896. https://doi.org/10.31857/S0044457X23600159
- Kitahama K., Hori Y., Kawai K. et al. // Jpn. J. Appl. Phys. 1991. V. 30. P. L809. https://doi.org/10.1143/JJAP. 30.L809
- 17. Aharen T., Greedan J.E., Bridges C.A. et al. // Phys. Rev. B: Condens. Matter. 2010. V. 81. № 22. P. 224409. https://journals.aps.org/prb/abstract/10.1103/PhysRevB.81.224409
- 18. *Maczka M., Hanuza J., Fuentes A.F. et al.* // J. Phys.: Condens. Matter. 2004. V. 16. № 13. P. 2297. https://iopscience.iop.org/article/10.1088/0953-8984/16/13/010
- 19. *Yoon J.-W.*, *Ryu J.H.*, *Shim K.B.* // Mater. Sci. Eng. 2006. V. 127. № 2–3. P. 154. https://doi.org/10.1016/j.mseb.2005.10.015
- 20. *Wang Z., Liang H., Gong M. et al.* // Opt. Mater. 2007. V. 29. № 7. P. 896. https://doi.org/10.1016/j.optmat.2005.12.010
- Li L., Zhang J., Zi W. et al. // Solid State Sci. 2014.
 V. 29. P. 58.
 https://doi.org/10.1016/j.solidstatesciences.2014.01.003
- Qiao X., Tsuboi T. // J.Am. Ceram. Soc. 2017. V. 100.
 № 4. P. 1440.
 https://doi.org/10.1111/jace.14679
- 23. *Сухарева Т.В., Еременко В.В.* // Физика твердого тела. 1997. Т. 39. № 10. С. 1739. https://elibrary.ru/item.asp?id=21317623

- 24. *Diaz-Guerra C. Piqueras J., Garcia J.A. et al.* // J. Lumin. 1997. V. 71. № 4. P. 299. https://doi.org/10.1016/S0022-2313(97)00096-3
- 25. Cavalcante L.S., Sczancoski J.C., Tranquilin R.L. et al. // J. Phys. Chem. Solids. 2008. V. 69. № 11. P. 2674.

https://doi.org/10.1016/j.jpcs.2008.06.107

- 26. *Phuruangrat A., Thongtem T., Thongtem S.* // J. Phys. Chem. Solids. 2009. V. 70. № 6. P. 955. https://doi.org/10.1016/j.jpcs.2009.05.006
- 27. *Wu X.*, *Du J.*, *Li H. et al.* // J. Solid State Chem. 2007. V. 180. № 11. P. 3288. https://doi.org/10.1016/j.jssc.2007.07.010

SOLID SOLUTION IN THE PSEUDOBINARY SYSTEM Ba, YMoO₆ – [Ba, YCuO₅]

M. N. Smirnova^a, *, M. A. Kopeva^a, G. D. Nipan^a, G. E. Nikiforova^a, E. V. Tekshina^a, A. A. Arkhipenko^a

^aKurnakov Institute of General and Inorganic Chemistry of the Russian Academy of Sciences, Moscow, 119991 Russia *e-mail: smirnova macha1989@mail.ru

Samples of the pseudobinary system $Ba_2YMoO_6-[Ba_2YCuO_5]$ were synthesized using the gel combustion method. The obtained samples were studied by X-ray diffraction and photoluminescence spectroscopy. By replacing Mo with Cu, it was possible to stabilize the cubic phases $Fm\overline{3}m$ and $F\overline{4}3m$ of the $Ba_2YMo_{1-x}Cu_xO_{6-\delta}$ solid solution ($0 \le x \le 0.5$) in air.

Keywords: multicomponent oxide systems, phase states